

Рассеяние квазидвумерных электронов сверхрешетки GaAs/Al_xGa_{1-x}As на фононах

© С.И. Борисенко[¶]

Сибирский физико-технический институт им. В.Д. Кузнецова,
634050 Томск, Россия

(Получена 12 марта 2003 г. Принята к печати 19 мая 2003 г.)

Проведен расчет продольной и поперечной подвижности электронов нижней минизоны сверхрешетки GaAs/Al_{0.35}Ga_{0.65}As в случае рассеяния на дальнедействующем потенциале полярных оптических фононов при $T = 300$ К. Проведен анализ парциальных вкладов в подвижность и эффективное время релаксации от различных мод колебаний дальнедействующего потенциала таких фононов. Исследованы зависимости подвижности и эффективного времени релаксации как на полярных оптических, так и на акустических фононах от ширины квантовой ямы сверхрешетки и от температуры. Расчет выполнен с помощью линеаризованного уравнения Больцмана. Скалярный потенциал полярных оптических фононов рассчитывался в модели диэлектрического континуума.

1. Введение

Как известно, в сверхрешетках GaAs/Al_xGa_{1-x}As, составленных из полупроводников с ионной связью, основным механизмом рассеяния носителей заряда на колебаниях решетки в области комнатных температур должно быть рассеяние на дальнедействующем потенциале полярных оптических фононов (ПОФ). Анализ этого рассеяния и подвижности, связанной с ним, для структур из изолированных квантовых ям (КЯ) посвящено большое число работ, касающихся как проблемы в целом [1–9], так и отдельных ее аспектов [10–14]. Для сверхрешеток (СР) из квантовых ям такие работы практически отсутствуют [15–17]. До настоящего времени анализ подвижности носителей заряда в СР, определяемой рассеянием на ПОФ, представляет значительные трудности, связанные со сложным спектром колебаний дальнедействующего потенциала ПОФ сверхрешетки и неупругим характером данного рассеяния.

В данной работе в рамках единого метода проведен расчет продольной и поперечной подвижностей невырожденного газа электронов нижней минизоны симметричной сверхрешетки GaAs/Al_{0.35}Ga_{0.65}As с шириной квантовой ямы a и толщиной потенциального барьера b , равных 5 нм. Расчет подвижности и эффективного времени релаксации при $T = 300$ К проводился с учетом рассеяния электронов на дальнедействующем потенциале ПОФ. Проведен анализ парциальных вкладов в подвижность и эффективное время релаксации от различных мод колебаний дальнедействующего потенциала ПОФ. Исследована зависимость среднего значения эффективного времени релаксации и подвижности на ПОФ и акустических фононах (АФ) от ширины квантовой ямы СР и температуры. Расчет эффективного времени релаксации проводился с помощью линеаризованного уравнения Больцмана. Скалярный потенциал ПОФ рассчитывался в модели диэлектрического континуума.

2. Методика расчета

Расчет продольной и поперечной, относительно оси симметрии СР, подвижности проводился с помощью линеаризованного уравнения Больцмана. Неравновесная добавка к функции распределения $g(\mathbf{k})$ с учетом неупругого рассеяния на фононах рассчитывалась в виде

$$g(\mathbf{k}) = e \frac{\partial f_0}{\partial \varepsilon} \sum_i \tau_i(\mathbf{k}) E_i v_i(\mathbf{k}), \quad (1)$$

где $\tau_i(\mathbf{k})$ — искомые функции, зависящие в общем случае от волнового вектора \mathbf{k} , которые будем называть эффективным временем релаксации; $f_0(\varepsilon)$ — равновесная функция распределения Ферми–Дирака, \mathbf{E} — вектор напряженности электрического поля; $\mathbf{v}(\mathbf{k}) = \nabla_k \varepsilon / \hbar$ — скорость электрона,

$$\varepsilon(\mathbf{k}) = \frac{\hbar^2 k_{\perp}^2}{2m_{\perp}} + \frac{\Delta}{2} [1 - \cos(k_z d)] \quad (2)$$

— энергия электронов нижней минизоны СР в приближении сильной связи; $\mathbf{k}_{\perp} = (k_x, k_y, 0)$ — волновой вектор, перпендикулярный оси симметрии СР; m_{\perp} — поперечная эффективная масса, близкая по величине к эффективной массе электронов m_a полупроводника, составляющего КЯ; Δ — ширина нижней минизоны СР; d — период СР.

Функции эффективного времени релаксации рассчитывались с помощью численного решения линеаризованного уравнения Больцмана, которое в квазидвумерном приближении для электронного газа ($\Delta < k_0 T$) с учетом (1), (2) имеет следующий вид [17]:

$$\tau_{\perp}(\varepsilon) = \tau_0(\varepsilon) \left\{ \sum_{\mathbf{k}'} [w_{\mathbf{k}'\mathbf{k}} + f_0(\varepsilon)(w_{\mathbf{k}\mathbf{k}'} - w_{\mathbf{k}'\mathbf{k}})] \times \frac{f'_0(\varepsilon') \mathbf{k}_{\perp} \mathbf{k}'_{\perp}}{f'_0(\varepsilon) k_{\perp}^2} \tau_{\perp}(\varepsilon') + 1 \right\}, \quad (3)$$

[¶] E-mail: sib@elefot.tsu.ru

$$\tau_{\parallel}(\varepsilon) = \tau_0(\varepsilon) \left\{ \sum_{\mathbf{k}'} [w_{\mathbf{k}'\mathbf{k}} + f_0(\varepsilon)(w_{\mathbf{k}\mathbf{k}'} - w_{\mathbf{k}'\mathbf{k}})] \times \frac{f'_0(\varepsilon') \sin(k'_z d)}{f'_0(\varepsilon) \sin(k_z d)} \tau_{\parallel}(\varepsilon') + 1 \right\}, \quad (4)$$

где

$$\tau_0^{-1}(\varepsilon) = \sum_{\mathbf{k}'} \{w_{\mathbf{k}\mathbf{k}'} + f_0(\varepsilon')(w_{\mathbf{k}'\mathbf{k}} - w_{\mathbf{k}\mathbf{k}'})\}, \quad (5)$$

τ_0 — полное время жизни электрона в состоянии с волновым вектором \mathbf{k} ,

$$w_{\mathbf{k}\mathbf{k}'} = w_{\mathbf{k}\mathbf{k}'}^{\pm} + w_{\mathbf{k}'\mathbf{k}}^{\pm},$$

$$w_{\mathbf{k}\mathbf{k}'}^{\pm} = w(\mathbf{q}) \left(N_{\omega} + \frac{1}{2} \pm \frac{1}{2} \right) \delta_{\mathbf{k}', \mathbf{k} \mp \mathbf{q}} \delta(\varepsilon' - \varepsilon \pm \hbar\omega) \quad (6)$$

— вероятность рассеяния на фононах с энергией $\hbar\omega$, N_{ω} — число фононов, описываемых функцией Бозе–Эйнштейна, $\tau_{\perp}(\varepsilon) = \tau_x(\varepsilon) = \tau_y(\varepsilon)$, $\tau_{\parallel}(\varepsilon) = \tau_z(\varepsilon)$, $\varepsilon = \varepsilon(\mathbf{k}_{\perp}) = \frac{\hbar^2 k_{\perp}^2}{2m_a}$. Следует отметить, что в квазидвумерном приближении функции эффективного времени релаксации τ_i и функция τ_0 становятся зависящими только от энергии поперечного движения электрона.

С учетом неупругого рассеяния на ПОФ, вероятность которого описывается формулой (6), и других механизмов рассеяния, описываемых временами релаксации $\tau_{j\perp}(\varepsilon)$ и $\tau_{j\parallel}(\varepsilon)$, уравнения (3), (4) после интегрирования по волновому вектору \mathbf{k}' приводятся к функциональному виду

$$\tau_i(\varepsilon) = \tau_{0i}(\varepsilon) \{G_i^+(\varepsilon)\tau_i(\varepsilon + \hbar\omega) + G_i^-(\varepsilon)\tau_i(\varepsilon - \hbar\omega) + 1\}, \quad (7)$$

где (см. Приложение I)

$$\tau_{0i}^{-1}(\varepsilon) = \tau_0^{-1}(\varepsilon) + \sum_j \tau_{ji}^{-1}(\varepsilon). \quad (8)$$

Как известно, для полупроводников $A^{III}B^V$ в приближении диэлектрического континуума [16] колебания дальнегодействующего потенциала ПОФ по характеру зависимости скалярного потенциала от координаты вдоль оси СР можно разделить на два вида. Это так называемые волноводные (guided), или колебания G, и интерфейсные, или колебания I. Бесконечное число волноводных колебаний вырождено по частоте, которая принимает два значения, равные частотам продольных ПОФ исходных полупроводников, входящих в состав квантовой ямы — ω_{La} и потенциального барьера — ω_{Lb} . Амплитуды колебаний G с частотой ω_{La} отличны от нуля только в области КЯ, тогда как для колебаний с частотой ω_{Lb} амплитуды отличны от нуля только в потенциальных барьерах (ПБ). Поэтому можно говорить о G-модах КЯ и ПБ. Интерфейсные колебания имеют четыре моды, частоты которых близки по величине к частотам продольных и поперечных ПОФ исходных

полупроводников и имеют дисперсию по волновому вектору. Амплитуды колебаний I в отличие от волноводных определены на всем периоде СР.

Расчет вероятности рассеяния электронов на колебаниях G и I дальнегодействующего потенциала проводился с приближенной огибающей волновой функцией ψ в виде суммы Блоха по волновой функции основного состояния бесконечно глубокой КЯ:

$$\psi = \psi_{\mathbf{k}}(\mathbf{r}) = \sqrt{\frac{d}{V}} e^{i\mathbf{k}_{\perp}\mathbf{r}_{\perp}} \sum_n e^{ik_z dn} \varphi(z - dn), \quad (9)$$

где

$$\varphi(z) = \begin{cases} \sqrt{\frac{2}{a}} \cos\left(\frac{\pi}{a} z\right) & |z| \leq \frac{a}{2}, \\ 0 & |z| > \frac{a}{2}. \end{cases} \quad (10)$$

В этом приближении для суммарной вероятности рассеяния на всех симметричных G-модах КЯ с частотой $\omega_G = \omega_{La}$ функцию $w(\mathbf{q})$, входящую в формулу (6), можно представить в аналитическом виде

$$w_G(\mathbf{q}) = w_G(q_{\perp}) = \frac{1}{8} C_{PO} \frac{\pi\alpha(4 + \alpha^2)(8 + 3\alpha^2) - 64 \operatorname{th}(aq_{\perp}/2)}{\alpha^3(4 + \alpha^2)^2}, \quad (11)$$

где

$$C_{PO} = \frac{e^2 a d \omega_{La}}{\pi^2 \varepsilon_0 \varepsilon_a^* V},$$

$\alpha = aq_{\perp}/\pi$, a — ширина КЯ, $1/\varepsilon^* = 1/\varepsilon_{\infty} - 1/\varepsilon_s$, V — объем СР. Индекс a указывает на полупроводник, из которого состоит КЯ.

В случае рассеяния на I-модах с частотой $\omega = \omega_{\lambda}(\mathbf{q})$ формула для функции $w(\mathbf{q})$ имеет следующий вид:

$$w_I(\mathbf{q}) = 16C_{PO} \frac{|1 + \vartheta(\mathbf{q})|^2 \operatorname{sh}(aq_{\perp}/2)}{\alpha^3(4 + \alpha^2)^2} \frac{\omega_{La} c_{aL}^2}{\omega c_a^2} \times \left\{ \operatorname{sh}(aq_{\perp}) + \frac{1}{4} e^{dq_{\perp}} \operatorname{sh}(bq_{\perp}) \frac{\rho_{\mu b} c_b^2}{\rho_{\mu a} c_a^2} \right| e^{-aq_{\perp}} \left(1 - \frac{\varepsilon_a}{\varepsilon_b} \right) + \vartheta \left(1 + \frac{\varepsilon_a}{\varepsilon_b} \right) \left| \right|^2 \right\}^{-1}, \quad (12)$$

где

$$c_i^2 = c_i^2(\omega) = \frac{\varepsilon_0 \varepsilon_{\infty i} (\omega_{Li}^2 - \omega_{Ti}^2)}{\rho_{\mu i} (\omega^2 - \omega_{Ti}^2)},$$

$$\varepsilon_i = \varepsilon_i(\omega) = \varepsilon_{\infty i} \frac{\omega_{Li}^2 - \omega^2}{\omega_{Ti}^2 - \omega^2},$$

$$c_{aL}^2 = c_a^2(\omega_{La}), \quad \frac{1}{\rho_{\mu i}} = \Omega \left(\frac{1}{m_{Ai}} + \frac{1}{m_{Bi}} \right), \quad (13)$$

Ω — объем элементарной ячейки исходных полупроводников $A^{III}B^V$ (считается одинаковым для КЯ и ПБ);

m_A и m_B — массы атомов, входящих в элементарную ячейку; ω_T, ω_L — частоты поперечных и продольных оптических фононов исходных полупроводников; $\vartheta = \vartheta_\lambda(\mathbf{q})$ — безразмерная комплексная функция (см. Приложение II); индекс i принимает два значения: a для КЯ и b для ПБ.

В приближении объемного фононного спектра выражение для функции $w(\mathbf{q})$ с учетом процессов переброса записывается в виде [17]

$$w(\mathbf{q}) = \frac{a}{\pi d} C_{\text{PO}} \sum_n \frac{\sin^2(\pi x_n)}{x_n^2(1-x_n^2)^2} \frac{1}{[\alpha^2 + 4x_n^2]}, \quad (14)$$

где

$$x_n = \frac{a}{2\pi} \left(q_z + \frac{2\pi}{d} n \right), \quad -\frac{N_z}{2} \leq n < \frac{N_z}{2},$$

N_z — число периодов СР.

Упругое рассеяние на акустических колебаниях описывалось с помощью изотропного времени релаксации, которое рассчитывалось по формуле [17]

$$\tau_\perp(\varepsilon) = \tau_\parallel(\varepsilon) = \tau = \frac{2}{3} \frac{ac_L \hbar^3}{m_a D_c^2 k_0 T}, \quad (15)$$

где $c_L = c_{11} + \frac{2}{5}(c_{12} + 2c_{44} - c_{11})$ — среднее значение модуля упругости продольных акустических колебаний в приближении фононного спектра объемного полупроводника, D_c — константа деформационного потенциала края зоны проводимости.

Продольная и поперечная подвижности в модели эффективного времени релаксации и в квазидвумерном приближении для электронного газа СР рассчитывались по формулам [17]

$$\mu_\perp = e \langle \tau_\perp \rangle / m_\perp, \quad \mu_\parallel = e \langle \tau_\parallel \rangle / \langle m_\parallel \rangle, \quad (16)$$

где $\langle \tau_\perp \rangle$, $\langle \tau_\parallel \rangle$, $\langle m_\parallel \rangle$ — усредненные по энергии функции эффективного времени поперечной и продольной релаксации, продольной эффективной массы электронов основной минизоны:

$$\langle \tau_\perp \rangle = \frac{\rho_c}{n} \int_0^\infty \left(-\frac{\partial f_0}{\partial \varepsilon} \right) \tau_\perp(\varepsilon) \varepsilon d\varepsilon,$$

$$\langle \tau_\parallel \rangle = [1 - \exp(-n/N_c)]^{-1} \int_0^\infty \left(-\frac{\partial f_0}{\partial \varepsilon} \right) \tau_\parallel(\varepsilon) \varepsilon d\varepsilon, \quad (17)$$

$$\frac{1}{\langle m_\parallel \rangle} = \frac{\Delta \rho_c}{4m_\parallel n} [1 - \exp(-n/N_c)], \quad (18)$$

где $\rho_c = m_\perp / \pi d \hbar^2$ — двумерная плотность состояний в нижней минизоне проводимости, $N_c = k_0 T \rho_c$ — эффективная плотность состояний, $m_\parallel = 2\hbar^2 / \Delta^2 d^2$ — продольная эффективная масса на дне минизоны. В случае невырожденного электронного газа ($n \ll N_c$) выражение для усредненной по энергии продольной эффективной массы принимает простой вид

$$\frac{1}{\langle m_\parallel \rangle} = \frac{\Delta}{k_0 T m_\parallel}. \quad (19)$$

3. Анализ результатов численного расчета

Расчет продольного и поперечного эффективного времени релаксации и подвижности квазидвумерных электронов невырожденного электронного газа нижней минизоны сверхрешетки GaAs/Al_{0.35}Ga_{0.65}As проводился при следующих значениях параметров: $a = 5$ нм, $b = 5$ нм; $m_\perp = m_a = 0.066m_0$; $\hbar\omega_{La} = 36.23$ мэВ, $\hbar\omega_{Ta} = 33.27$ мэВ; $\varepsilon_{sa} = 13.18$, $\varepsilon_{\infty a} = 10.82$; $\hbar\omega_{Lb} = 34.11$ мэВ, $\hbar\omega_{Tb} = 32.89$ мэВ; $\varepsilon_{sb} = 12.06$, $\varepsilon_{\infty b} = 9.82$ [18]. Согласно расчетам энергетического спектра зоны проводимости с учетом непараболичности Кейна [19], данная СР при $T = 300$ К имеет в КЯ одну минизону. Вторая минизона располагается на высоте потенциального барьера с энергией 260 мэВ и отделена от первой минизоны интервалом энергии 150 мэВ. С такими параметрами СР может быть использована в качестве фотодетектора инфракрасного излучения с длиной волны ~ 7 мкм. Значение ширины нижней минизоны Δ при рассматриваемой температуре равно 9.4 мэВ. Для СР с легированными КЯ при концентрации электронов 10^{14} см⁻³ приведенный уровень Ферми равняется $-8.9k_0T$, среднее значение продольной эффективной массы, рассчитанное по формуле (19), принимает значение $1.8m_0$.

Расчет эффективного времени продольной и поперечной релаксации на скалярном потенциале ПОФ проводился с помощью численного решения уравнений (7) методом прогонки с учетом всех I-мод и четных G-мод КЯ. Закон сохранения энергии при рассеянии учитывался в приближении $\omega_\lambda(\mathbf{q}) \approx \omega_{La}$, так как, согласно расчетам, дисперсия I-частот и разница между частотами интерфейсных мод много меньше k_0T . В таблице приведены парциальные значения усредненного по энергии эффективного времени релаксации и подвижности, определяемые рассеянием на всех четных G-модах КЯ и четырех I-модах, рассчитанные при $T = 300$ К. Из таблицы следует, что рассеяние электронов на ПОФ для данной СР при комнатной температуре носит смешанный характер за счет рассеяния на интерфейсных модах I₃, I₄ и симметричных волноводных G-модах квантовой ямы. Полное время релаксации (Σ) за счет смешанного рассеяния на всех модах скалярного потенциала ПОФ почти в 2 раза превышает значение,

Парциальные значения усредненного по энергии времени релаксации невырожденных электронов на модах G и I скалярного потенциала полярных оптических фононов при $T = 300$ К

Время релаксации	G	I ₁	I ₂	I ₃	I ₄	Σ	V
$\langle \tau_\perp \rangle$, пс	1.8	920	170	1.2	3.3	0.58	0.30
$\langle \tau_\parallel \rangle$, пс	2.4	1500	95	0.95	3.0	0.53	0.30

Примечание. Σ — полное время релаксации на всех модах полярных оптических фононов, V — время релаксации на фононах объемного спектра.

полученное в приближении объемного (V) фононного спектра [17], а также превышает значение эффективного времени релаксации на ПОФ в объемном GaAs [20], равное 0.39 пс. На рис. 1 приведены температурные зависимости подвижности, определяемые рассеянием на ПОФ и АФ, рассчитанные по формулам (16)–(19). При расчете подвижности учитывалась температурная зависимость ширины минизоны, которая по формулам (18), (19) связана с температурной зависимостью продольной эффективной массы (см. рис. 2). Согласно зависимостям, представленным на рис. 1, основным механизмом рассеяния электронов СР на колебаниях решетки во всей области температур от комнатных и ниже является рассеяние на акустических фононах, тогда как в чистом GaAs при комнатной температуре рассеяние на ПОФ (кривая 3) является более существенным, чем на АФ (кривая 3').

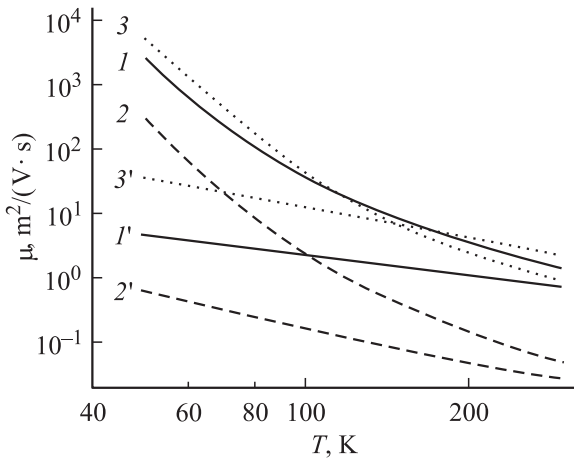


Рис. 1. Зависимости подвижности электронов μ от температуры при рассеянии: 1–3 — на полярных оптических фононах, 1'–3' — на акустических фононах. 1, 1' — поперечная подвижность; 2, 2' — продольная; 3, 3' — в GaAs.

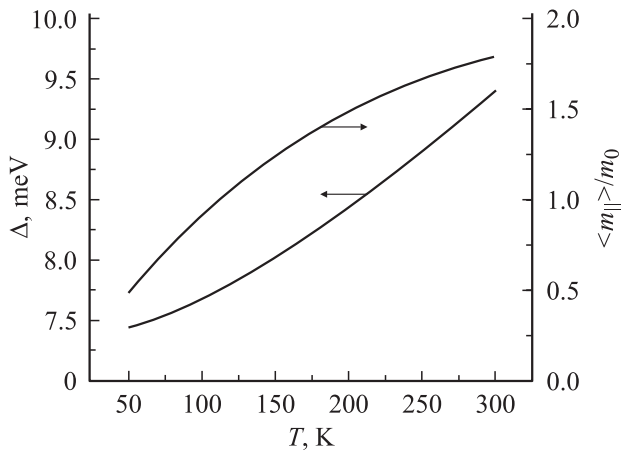


Рис. 2. Зависимости ширины минизоны Δ и среднего значения продольной эффективной массы электронов $\langle m_{||} \rangle$ от температуры.

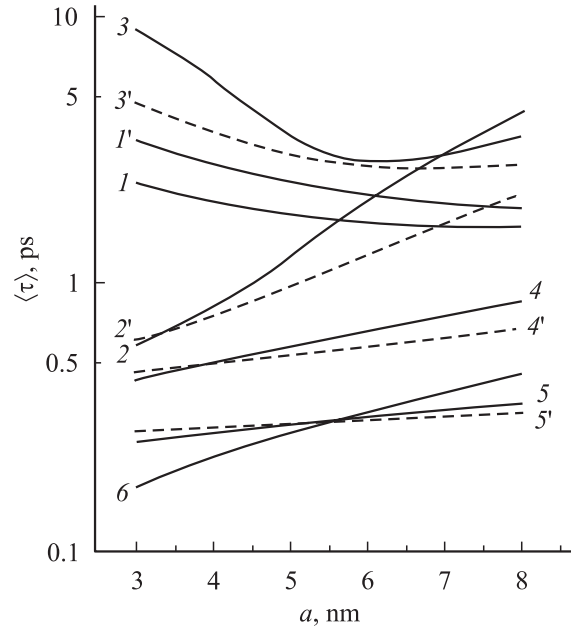


Рис. 3. Среднее значение эффективного времени релаксации электронов $\langle \tau \rangle$ при рассеянии на фононах в зависимости от ширины квантовой ямы при $T = 300$ К и рассеянии на модах полярных оптических фононов (ПОФ): 1, 1' — G; 2, 2' — I_3 ; 3, 3' — I_4 ; 4, 4' — время при рассеянии на всех модах ПОФ (Σ); 5, 5' — на фононах объемного спектра (V); 6 — на акустических фононах. 1–5 — поперечное время, 1'–5' — продольное.

На рис. 3 представлены зависимости среднего значения эффективного времени релаксации $\langle \tau \rangle$ для электронов на ПОФ от ширины квантовой ямы. Зависимости рассчитаны при $T = 300$ К и толщине потенциального барьера $b = 5$ нм. Из рисунка следует, что с ростом ширины КЯ среднее эффективное время поперечной $\langle \tau_{\perp} \rangle$ и продольной $\langle \tau_{||} \rangle$ релаксации, с учетом суммарного рассеяния на ПОФ, растет (кривые 4, 4'). Скорость роста $\langle \tau_{\perp} \rangle$ выше, чем у $\langle \tau_{||} \rangle$, что приводит к росту анизотропии эффективного времени релаксации. При малых значениях ширины КЯ основное рассеяние происходит на интерфейсных модах I_3 (кривые 2, 2'). С ростом ширины КЯ основная роль в рассеянии на ПОФ переходит к симметричным G-модам КЯ.

4. Заключение

На основе численного анализа полученных результатов для рассматриваемых сверхрешеток (СР) можно сделать следующие выводы.

1) Учет перестройки скалярного потенциала полярных оптических фононов (ПОФ) в СР в модели диэлектрического континуума приводит к более слабому рассеянию, чем в приближении объемного фононного спектра.

2) Роль рассеяния на акустических фононах в СР в области комнатных температур выше, чем на ПОФ по сравнению с объемным GaAs.

3) Рассеяние на ПОФ в общем случае носит смешанный характер за счет рассеяния на симметричных G-модах квантовой ямы и интерфейсных модах с частотами, близкими к частотам продольных ПОФ объемных полупроводников, формирующих квантовые ямы и потенциальные барьеры.

Приложение I

Функции поперечной энергии, входящие в функциональное уравнение (7), имеют следующий вид:

$$G_i^\pm(\varepsilon) = \left\{ N_\omega + \frac{1}{2} \mp \frac{1}{2} \pm f_0(\varepsilon \pm \hbar\omega) \right\} \frac{f'_0(\varepsilon \pm \hbar\omega)}{f'_0(\varepsilon)} S_i^\pm(\varepsilon), \quad (\text{П.И.1})$$

где

$$S_\perp^\pm(\varepsilon) = \frac{V}{(2\pi)^3} \int d\mathbf{k}' w(\mathbf{q}) \frac{\mathbf{k}'_\perp \mathbf{k}_\perp}{k_\perp^2} \delta_{\mathbf{k}', \mathbf{k} \pm \mathbf{q}} \delta(\varepsilon' - \varepsilon \mp \hbar\omega), \quad (\text{П.И.2})$$

$$S_\parallel^\pm(\varepsilon) = \frac{V}{(2\pi)^3} \int d\mathbf{k}' w(\mathbf{q}) \frac{\sin(k'_z d)}{\sin(k_z d)} \delta_{\mathbf{k}', \mathbf{k} \pm \mathbf{q}} \delta(\varepsilon' - \varepsilon \mp \hbar\omega). \quad (\text{П.И.3})$$

В квазидвумерном приближении с учетом четной и периодической зависимости функции $w(\mathbf{q})$ по q_z

$$w(\mathbf{q}_\perp, q_z \pm \frac{2\pi}{d} n) = w(\mathbf{q}_\perp, q_z), \quad (\text{П.И.4})$$

формулы для функций $S(\varepsilon)$ принимают следующий вид:

$$S_\perp^\pm(\varepsilon) = \frac{V}{(2\pi)^3} \int d\mathbf{k}' w_\perp(\mathbf{q}_\perp) \frac{\mathbf{k}'_\perp \mathbf{k}_\perp}{k_\perp^2} \delta_{\mathbf{k}', \mathbf{k}_\perp \pm \mathbf{q}_\perp} \delta(\varepsilon' - \varepsilon \mp \hbar\omega), \quad (\text{П.И.5})$$

$$S_\parallel^\pm(\varepsilon) = \frac{V}{(2\pi)^3} \int d\mathbf{k}' w_\parallel(\mathbf{q}_\perp) \delta_{\mathbf{k}', \mathbf{k}_\perp \pm \mathbf{q}_\perp} \delta(\varepsilon' - \varepsilon \mp \hbar\omega), \quad (\text{П.И.6})$$

где

$$w_\perp(\mathbf{q}_\perp) = 2 \int_0^{\pi/2} w(\mathbf{q}) dq_z, \\ w_\parallel(\mathbf{q}_\perp) = 2 \int_0^{\pi/d} w(\mathbf{q}) \cos(q_z d) dq_z. \quad (\text{П.И.7})$$

Приложение II

Согласно модели диэлектрического континуума [16], скалярный потенциал полярных оптических фононов СР для мод G и I в нормальных координатах имеет вид

$$V(\mathbf{r}) = \sum_{\lambda\mathbf{q}} \left(\frac{\hbar}{2\omega_{\lambda\mathbf{q}} \rho_\mu(z)} \right)^{1/2} [a_\lambda^+(-\mathbf{q}) + a_\lambda(\mathbf{q})] f_{\lambda\mathbf{q}}(z) e^{i\mathbf{q}_\perp \mathbf{r}_\perp}, \quad (\text{П.И.1})$$

где $\rho_\mu(z)$ — удельная приведенная масса атомов элементарной ячейки, λ — номер колебательной моды. Функ-

ция $f(z)$, удовлетворяющая теореме Блоха с периодом СР d , является решением уравнения Пуассона:

$$\nabla \varepsilon(z) \nabla \frac{1}{\sqrt{\rho_\mu(z)}} f(z) e^{i\mathbf{q}_\perp \mathbf{r}_\perp} = 0, \quad (\text{П.И.2})$$

где

$$\varepsilon(z) = \varepsilon(z + dm) = \varepsilon_\infty \frac{\omega_L^2 - \omega^2}{\omega_T^2 - \omega^2}$$

— функция высокочастотной диэлектрической проницаемости в полупроводниках A^{III}B^V. Для интерфейсных колебаний, частоты которых не совпадают с частотой продольных оптических фононов объемного спектра полупроводников КЯ и ПБ, функция $f(z)$ является решением уравнения

$$\frac{d}{dz} f(z) = q_\perp^2 f(z), \quad (\text{П.И.3})$$

и на периоде СР с началом координат в центре КЯ имеет следующий вид:

$$f(z) = \begin{cases} A_1 e^{q_\perp z} + B_1 e^{-q_\perp z}, & -a/2 \leq z < a/2; \\ A_2 e^{q_\perp z} + B_2 e^{-q_\perp z}, & -d/2 \leq z < -a/2; \\ A_3 e^{q_\perp z} + B_3 e^{-q_\perp z}, & a/2 \leq z < d/2. \end{cases} \quad (\text{П.И.4})$$

Неизвестные амплитуды, входящие в (П.И.4), удовлетворяют системе линейных уравнений, вытекающих из граничных условий для скалярного потенциала и нормальной составляющей напряженности электрического поля на гетерограницах. Из условия нетривиального решения этой системы следует секулярное уравнение для частот интерфейсных колебаний

$$\text{ch}(aq_\perp) \text{ch}(bq_\perp) + \frac{1}{2} \left(x + \frac{1}{x} \right) \text{sh}(aq_\perp) \text{sh}(bq_\perp) = \cos(dq_z), \quad (\text{П.И.5})$$

где

$$x = x(\omega) = \varepsilon_a(\omega) / \varepsilon_b(\omega). \quad (\text{П.И.6})$$

Уравнение (П.И.5) относительно x является алгебраическим уравнением 2-го порядка, корни которого можно представить в аналитическом виде:

$$x_{1,2} = w \pm \sqrt{w^2 - 1}, \quad (\text{П.И.7})$$

где

$$w = \frac{\cos(dq_z) - \text{ch}(aq_\perp) \text{ch}(bq_\perp)}{\text{sh}(aq_\perp) \text{sh}(bq_\perp)}.$$

Каждому из корней x , согласно уравнению (П.И.6), соответствуют две частоты:

$$\omega_{1,2}^2 = u \pm \sqrt{u^2 - \frac{\varepsilon_{\infty a} \omega_{La}^2 \omega_{Tb}^2 - \varepsilon_{\infty b} \omega_{Lb}^2 \omega_{Ta}^2 x}{\varepsilon_{\infty a} - \varepsilon_{\infty b} x}}, \quad (\text{П.И.8})$$

где

$$u = \frac{\varepsilon_{\infty a} (\omega_{La}^2 + \omega_{Tb}^2) - \varepsilon_{\infty b} (\omega_{Lb}^2 + \omega_{Ta}^2) x}{2(\varepsilon_{\infty a} - \varepsilon_{\infty b} x)}.$$

Функцию $\vartheta = \vartheta_\lambda(\mathbf{q})$, входящую в (10), с учетом (П.И.4) и (П.И.6) можно представить в виде

$$\vartheta = \vartheta_\lambda(\mathbf{q}) = \frac{B_1}{A_1} = \frac{(e^{idq_z} + e^{aq_\perp})(e^{bq_\perp} - 1)x - (e^{idq_z} - e^{aq_\perp})(e^{bq_\perp} + 1)}{(e^{idq_z} e^{aq_\perp} + 1)(e^{bq_\perp} - 1)x + (e^{idq_z} e^{aq_\perp} - 1)(e^{bq_\perp} + 1)}. \quad (\text{П.И.9})$$

Из решения системы линейных уравнений для амплитуд в ПБ имеем

$$B_2 = B_3 e^{-(q_\perp + iq_z)d}, \quad A_2 = A_3 e^{(q_\perp - iq_z)d}, \quad (\text{П.И.10})$$

$$A_3 = \sqrt{\frac{\rho_{\mu b}}{\rho_{\mu a}}} \left\{ \frac{1+x}{2} A_1 + \frac{1-x}{2} B_1 e^{-aq_\perp} \right\},$$

$$B_3 = \sqrt{\frac{\rho_{\mu b}}{\rho_{\mu a}}} \left\{ \frac{1-x}{2} A_1 e^{aq_\perp} + \frac{1+x}{2} B_1 \right\}. \quad (\text{П.И.11})$$

Выражение для нормированной амплитуды A_1 , связанное с переходом к нормальным координатам, можно представить в виде аналитической функции

$$A_1 = \sqrt{\frac{d}{q_\perp V}} \left\{ 4c_a^2 \text{sh}(aq_\perp) + c_b^2 e^{dq_\perp} \text{sh}(bq_\perp) \frac{\rho_{\mu b}}{\rho_{\mu a}} \times \left| e^{-aq_\perp} \left(1 - \frac{\varepsilon_a}{\varepsilon_b} \right) + \vartheta \left(1 + \frac{\varepsilon_a}{\varepsilon_b} \right) \right|^2 \right\}^{-1/2}. \quad (\text{П.И.12})$$

Для симметричных волноводных G-мод КЯ с частотой ω_{La} и номером $m = 2n + 1$ нормированная функция $f_{mq}(z)$, входящая в формулу для скалярного потенциала (П.И.1), на периоде СР имеет вид

$$f_{mq}(z) = \begin{cases} \sqrt{\frac{2ad}{c_{aL}^2 V}} \cos\left(\frac{\pi}{a} mz\right) / [(aq_\perp)^2 + (m\pi)^2]^{1/2}, & |z| \leq \frac{a}{2}; \\ 0, & \frac{a}{2} < |z| < \frac{d}{2}. \end{cases} \quad (\text{П.И.13})$$

Следует отметить, что в случае волноводных мод функция $f_{mq}(z)$ не зависит от продольной компоненты волнового вектора и с ростом m быстро убывает.

В приближении спектра объемных ПОФ функция $f(z)$ имеет одну ветвь и с учетом формулы (П.И.1) может быть представлена в виде

$$f_{\mathbf{q}}(z) = -i \sqrt{\frac{\rho_\mu(z)}{\varepsilon_0 \varepsilon^*(z) V}} \frac{\omega_L(z)}{q} \exp(iq_z z). \quad (\text{П.И.14})$$

Список литературы

- [1] B.K. Ridley. Phys. Rev. B, **39**, 5282 (1989).
- [2] G.Q. Hai, F.M. Peeters, J.T. Devreese. Phys. Rev. B, **48**, 4666 (1993).

- [3] G.Q. Hai, F.M. Peeters, J.T. Devreese. Phys. Rev. B: Third Series, **62**, 10 572 (2000).
- [4] V.V. Bondarenko, F.F. Sizov. Phys. Low-Dim. Structure, N 8–9, 123 (1995).
- [5] Д.Н. Мирлин, А.В. Родина. ФТТ, **38**, 3201 (1996).
- [6] X. Zianni, C.D. Simserides, G.P. Triberis. Phys. Rev. B, **55**, 16 324 (1997).
- [7] C.R. Bennett, M.A. Amato, N.A. Zakhleniuk, B.K. Ridley, M. Babiker. J. Appl. Phys., **83**, 1499 (1998).
- [8] B.A.S. Camacho. Phys. St. Sol. B, **220**, 53 (2000).
- [9] J. Pozela, A. Namajunas, K. Pozela, V. Juciene. Physica E, **5**, 108 (1999).
- [10] Z. Yisong, Lu Tianquan, Liu Jiang, Su Wenhui. Semicond. Sci. Technol., **12**, 1235 (1997).
- [11] M. Alcalde Augusto, Weber Gerald. Phys. Rev. B, **56**, 9619 (1997).
- [12] Duan Wenhui, Zhu Jia-Lin, Gu Bing-Lin, Wu Jian. Sol. St. Commun., **114**, 101 (2000).
- [13] K. Pozela, ФТП, **35**, 1361 (2001).
- [14] D.R. Anderson, N.A. Zakhleniuk, M. Babiker, B.K. Ridley, C.R. Bennett. Phys. Rev. B: Third Series, **63**, 245 313 (2001).
- [15] G.J. Warren, P.N. Butcher. Semicond. Sci. Technol., **1**, 133 (1986).
- [16] I. Dharssi, P.N. Butcher. J. Phys.: Condens. Matter., **2**, 119 (1990).
- [17] С.И. Борисенко. ФТП, **36**, 861 (2002).
- [18] Landolt-Börnstein. *Numerical Data and Functional Relationships in Science and Technology*, ed. by O. Madelung (Springer Verlag, Berlin, 1987) New Series III, v. 22a.
- [19] С.И. Борисенко, Г.Ф. Караваев. ФТП, **32**, 607 (1998).
- [20] С.И. Борисенко. ФТП, **35**, 313 (2001).

Редактор Т.А. Полянская

Scattering of quasi-2D electrons by phonons in superlattice GaAs/Al_xGa_{1-x}As

S.I. Borisenko

Siberian Physical and Technical Institute,
634050 Tomsk, Russia

Abstract Calculations of longitudinal and transversal electron mobility for the lowest miniband of GaAs/Al_{0.35}Ga_{0.65}As superlattice (SL) is carried out in the case of scattering by long-range potential polar optical phonons (POP) at $T = 300$ K. The analysis of the partial contributions for different modes of POP long-range potential vibrations in to mobility and the effective relaxation time is carried out. Dependence of the mobility and effective relaxation time due to POP and acoustic phonons from of a SL quantum well width and temperature was investigated. The calculation was carried out using a linearized Boltzmann equation. POP scalar potential was calculated in approximation dielectric continuum.